

# Séries Temporelles 1 (2A) - ENSAI

## TP 1 : Premiers pas et quelques expériences numériques

José G. GOMEZ-GARCIA

Octobre 2023

### Exercice 1

On étudie la série temporelle `notten` des températures mensuelles enregistrées à Nottingham Castle entre janvier 1920 et décembre 1939. Cette série est disponible sous R :

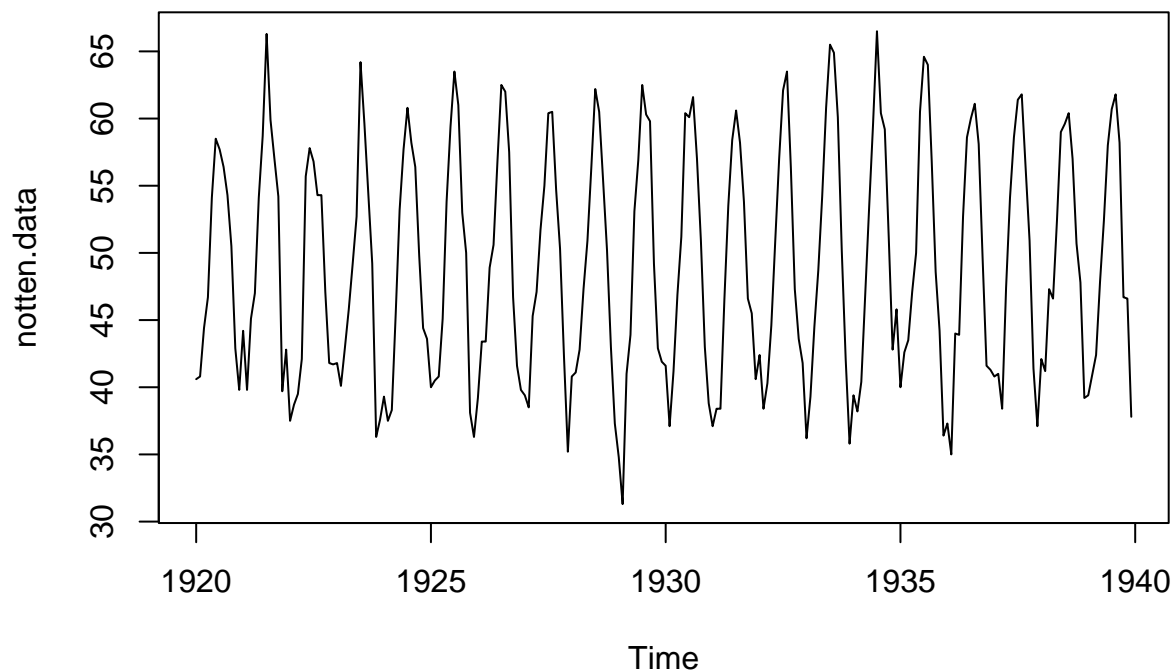
```
notten.data <- nottem  
summary(notten.data)
```

Min.	1st Qu.	Median	Mean	3rd Qu.	Max.
31.30	41.55	47.35	49.04	57.00	66.50

1.- Regarder la structure de ces données, puis tracer la série à l'aide de la fonction `plot.ts`. Observe-t-on une tendance ? une saisonnalité ?

Voici la représentation graphique en format de série temporelle `ts` :

```
plot.ts(notten.data)
```



# Tracez le même graphe avec `plot(notten.data)`. Remarquez-vous une différence ?

A simple vue, on n'observe pas de tendance (globale) notable. On pourrait valider cela avec un test. Par exemple,

$$H_0 : \{X_t = at + b, a \neq 0\} \text{ (existence d'une tendance linéaire)}$$

vs

$$H_1 : \{X_t = b\} \text{ (pas de tendance linéaire)}$$

Pour cela, il suffit d'utiliser la commande `lm` et voir le résultat du test donnée par la commande `summary`.

```
mois <- 1:length(notten.data)
mod0 <- lm(notten.data ~ mois)
summary(mod0)
```

Call:

```
lm(formula = notten.data ~ mois)
```

Residuals:

	Min	1Q	Median	3Q	Max
	-17.675	-7.575	-1.620	8.028	17.882

Coefficients:

	Estimate	Std. Error	t value	Pr(> t )
(Intercept)	48.301984	1.111112	43.472	<2e-16 ***
mois	0.006121	0.007994	0.766	0.445

---

Signif. codes: 0 '\*\*\*' 0.001 '\*\*' 0.01 '\*' 0.05 '.' 0.1 ' ' 1

Residual standard error: 8.58 on 238 degrees of freedom

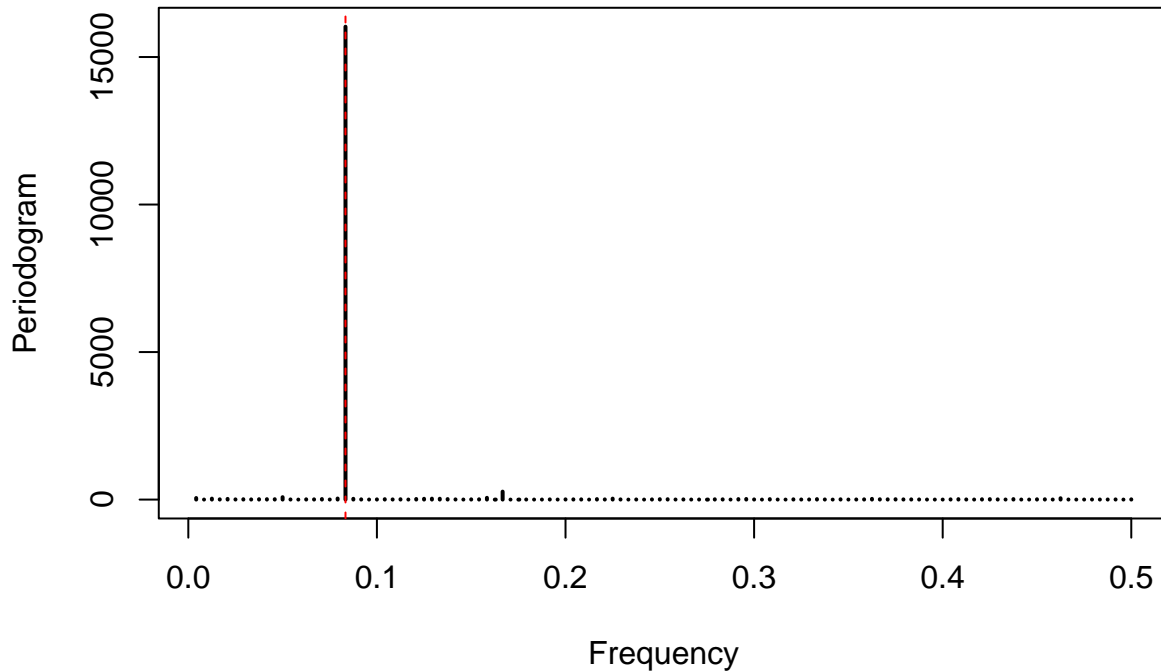
Multiple R-squared: 0.002458, Adjusted R-squared: -0.001734

F-statistic: 0.5864 on 1 and 238 DF, p-value: 0.4446

On ne peut pas rejeter  $H_0$ , on valide donc qu'on n'a pas de tendance statistiquement significative. Cependant, en regardant les données, on observe bien une saisonnalité (qui n'est pas étonnant, vue la nature des données)

Remarque : Vous pouvez vérifier cela en utilisant le *periodogram* et/ou un test de saisonnalité (non vu en cours)

```
TSA::periodogram(notten.data)
abline(v=1/12, col="red", lty=2)
```



Ce graphe montre bien que nous avons une période de  $P = 12$ , car  $\text{freq} = 1/P$

2.- On tente de la désaisonnaliser par régression sur les fonctions trigonométriques,  $t \rightarrow \cos\left(\frac{2\pi j}{12}t\right)$  pour  $j = 1, 2, \dots, 6$  et  $t \rightarrow \sin\left(\frac{2\pi j}{12}t\right)$  pour  $j = 1, \dots, 5$ . Pour cela, on crée une base trigonométrique à l'aide du code suivant :

```
freq <- matrix(1:6, nrow=1)/12
time <- matrix(1:length(notten.data), ncol = 1)
B <- cbind(cos(2*pi*time**freq), sin(2*pi*time**freq))[, -12]
B <- as.data.frame(B)
colnames(B) <- c('cos1', 'cos2', 'cos3', 'cos4', 'cos5', 'cos6', 'sin1', 'sin2', 'sin3',
                 'sin4', 'sin5')
library(knitr)
knitr::kable(head(B), digits = 4) #Si vous voulez regarder les premières 6 lignes du tableau B
```

cos1	cos2	cos3	cos4	cos5	cos6	sin1	sin2	sin3	sin4	sin5
0.866	0.5	0	-0.5	-0.866	-1	0.500	0.866	1	0.866	0.500
0.500	-0.5	-1	-0.5	0.500	1	0.866	0.866	0	-0.866	-0.866
0.000	-1.0	0	1.0	0.000	-1	1.000	0.000	-1	0.000	1.000
-0.500	-0.5	1	-0.5	-0.500	1	0.866	-0.866	0	0.866	-0.866
-0.866	0.5	0	-0.5	0.866	-1	0.500	-0.866	1	-0.866	0.500
-1.000	1.0	-1	1.0	-1.000	1	0.000	0.000	0	0.000	0.000

3.- Effectuer la régression sur la base créée en utilisant la fonction `lm` puis faire un résumé (`summary`) des résultats obtenus.

L'idée est de réaliser ici une régression (parfois appelé "régression harmonique") :

$$X_t = \mu + \sum_{j=1}^6 \alpha_j \cos\left(\frac{2\pi j}{12}t\right) + \sum_{j=1}^5 \beta_j \sin\left(\frac{2\pi j}{12}t\right) + \epsilon_t$$

afin d'obtenir une approximation de la partie saisonnière  $S_t$  de la décomposition additive de la série  $(X_t)$ , i.e.,  $X_t = S_t + T_t + \epsilon_t$ .

```
data_base <- data.frame(cbind(B,notten.data))
colnames(data_base)[12] <- 'temperature'
mod0 <- lm(temperature~. , data=data_base)
summary(mod0)
```

Call:

```
lm(formula = temperature ~ ., data = data_base)
```

Residuals:

	Min	1Q	Median	3Q	Max
	-7.890	-1.369	0.285	1.405	6.270

Coefficients:

	Estimate	Std. Error	t value	Pr(> t )
(Intercept)	49.03958	0.14942	328.207	< 2e-16 ***
cos1	-9.24092	0.21131	-43.732	< 2e-16 ***
cos2	-0.08083	0.21131	-0.383	0.7024
cos3	-0.06417	0.21131	-0.304	0.7617
cos4	0.02167	0.21131	0.103	0.9184
cos5	0.05009	0.21131	0.237	0.8128
cos6	-0.19542	0.14942	-1.308	0.1922
sin1	-6.94091	0.21131	-32.848	< 2e-16 ***
sin2	1.49822	0.21131	7.090	1.66e-11 ***
sin3	0.34333	0.21131	1.625	0.1056
sin4	0.36517	0.21131	1.728	0.0853 .
sin5	0.14174	0.21131	0.671	0.5030

---

Signif. codes: 0 '\*\*\*' 0.001 '\*\*' 0.01 '\*' 0.05 '.' 0.1 ' ' 1

Residual standard error: 2.315 on 228 degrees of freedom

Multiple R-squared: 0.9304, Adjusted R-squared: 0.9271

F-statistic: 277.3 on 11 and 228 DF, p-value: < 2.2e-16

On observe que les éléments significatifs sont  $\cos 1$  ( $\alpha_1$ ),  $\sin 1$  ( $\beta_1$ ),  $\sin 2$  ( $\beta_2$ ) et l'intercept ( $\mu$ ).

---

4.- Recommencer en ne gardant que les éléments significatifs de la base.

```
mod1 <- lm(temperature~cos1+sin1+sin2, data=data_base)
summary(mod1)
```

Call:

```
lm(formula = temperature ~ cos1 + sin1 + sin2, data = data_base)
```

Residuals:

	Min	1Q	Median	3Q	Max
	-8.4056	-1.4098	0.3104	1.3961	6.0013

Coefficients:

	Estimate	Std. Error	t value	Pr(> t )
(Intercept)	49.0396	0.1494	328.143	< 2e-16 ***

```
cos1      -9.2409      0.2113 -43.724 < 2e-16 ***
sin1      -6.9409      0.2113 -32.841 < 2e-16 ***
sin2       1.4982      0.2113   7.089 1.56e-11 ***
---
```

Signif. codes: 0 '\*\*\*' 0.001 '\*\*' 0.01 '\*' 0.05 '.' 0.1 ' ' 1

Residual standard error: 2.315 on 236 degrees of freedom

Multiple R-squared: 0.928, Adjusted R-squared: 0.9271

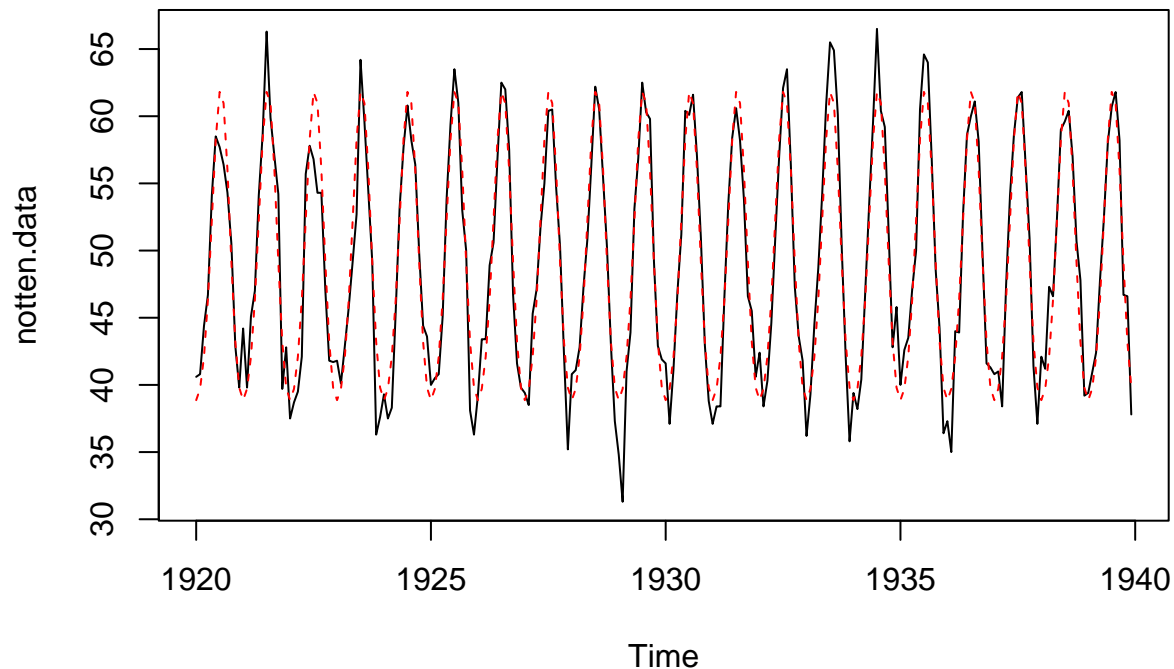
F-statistic: 1014 on 3 and 236 DF, p-value: < 2.2e-16

5.- Créer une série temporelle contenant la partie saisonnière obtenue sur cette base puis une contenant les résidus de la régression. On fera appel aux commandes `$fitted` et `$residuals`.

- Voici la série de saisonnalité  $S_t$  :

```
#On utilise la commande $fitted :
S_t <- mod1$fitted.values
s_t <- ts(S_t, frequency = 12, start = c(1920,1)) #Pour obtenir la série placée
#sur les dates des observations notten.data

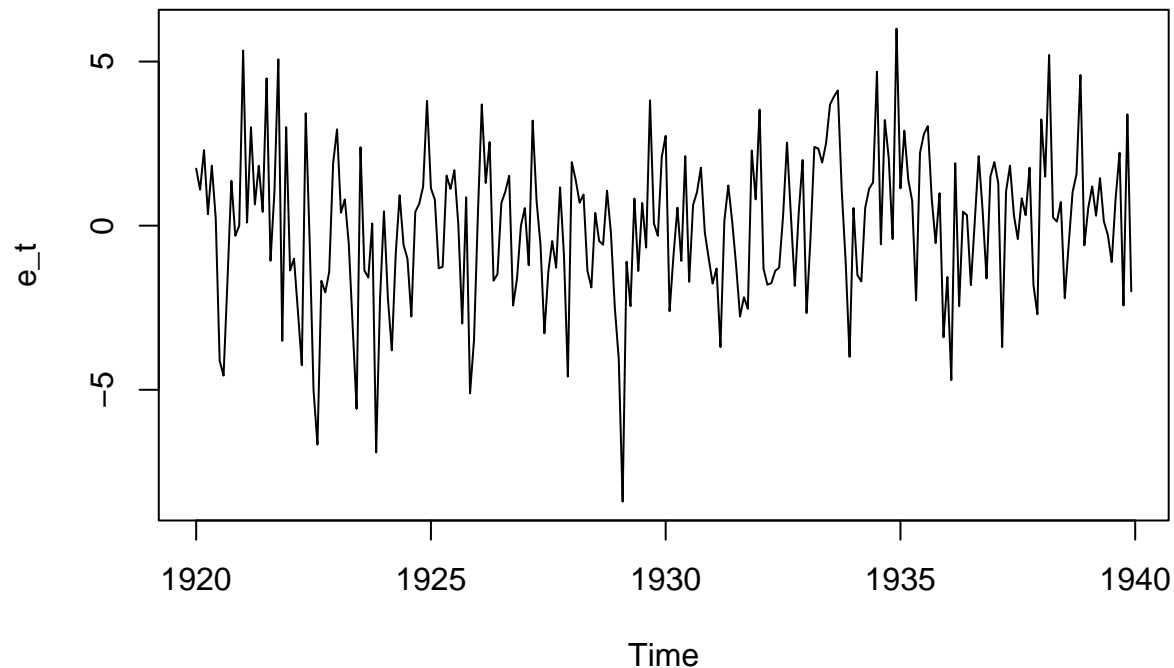
plot.ts(notten.data) #La série originale
lines(s_t, col="red", lty=2) #La série S_t est la rouge pointillée
```



- Voici la série des résidus  $\epsilon_t$  :

```
E_t <- mod1$residuals
e_t <- ts(E_t, frequency = 12, start = c(1920,1)) #Pour obtenir la série placée
#sur les dates des observations notten.data

plot(e_t)
```

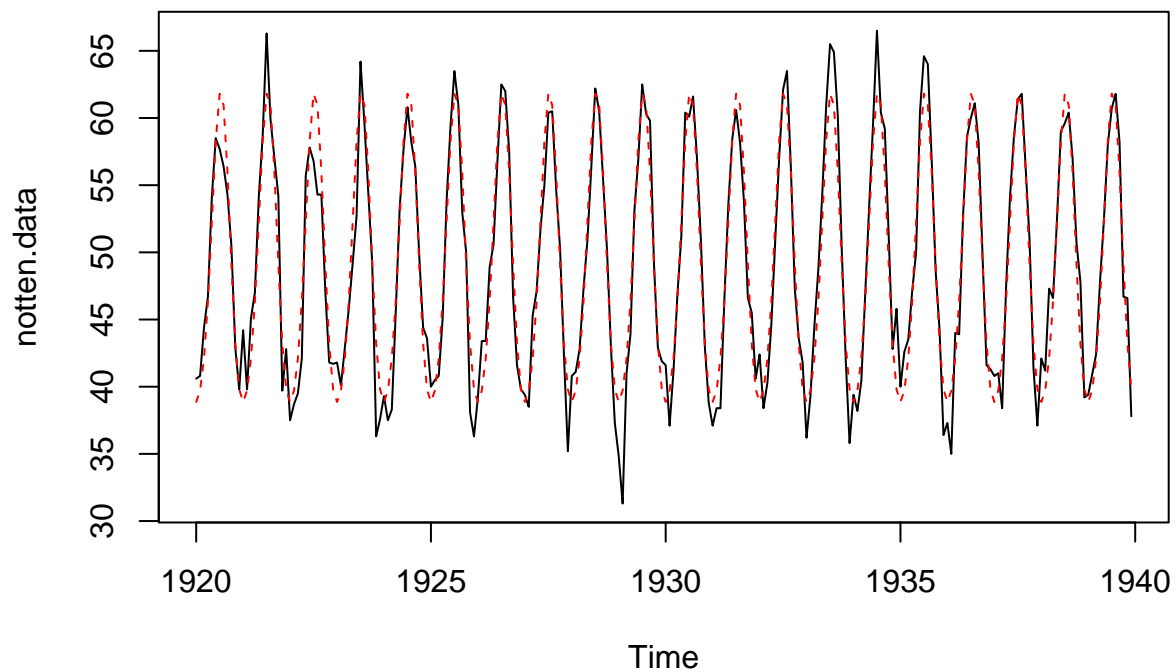


*Bonus : vous pouvez vérifier si ces résidus estimés sont par exemple centrés, gaussiens, etc. Pour cela, vous pouvez tracer des histogrammes, qq-plots, etc.*

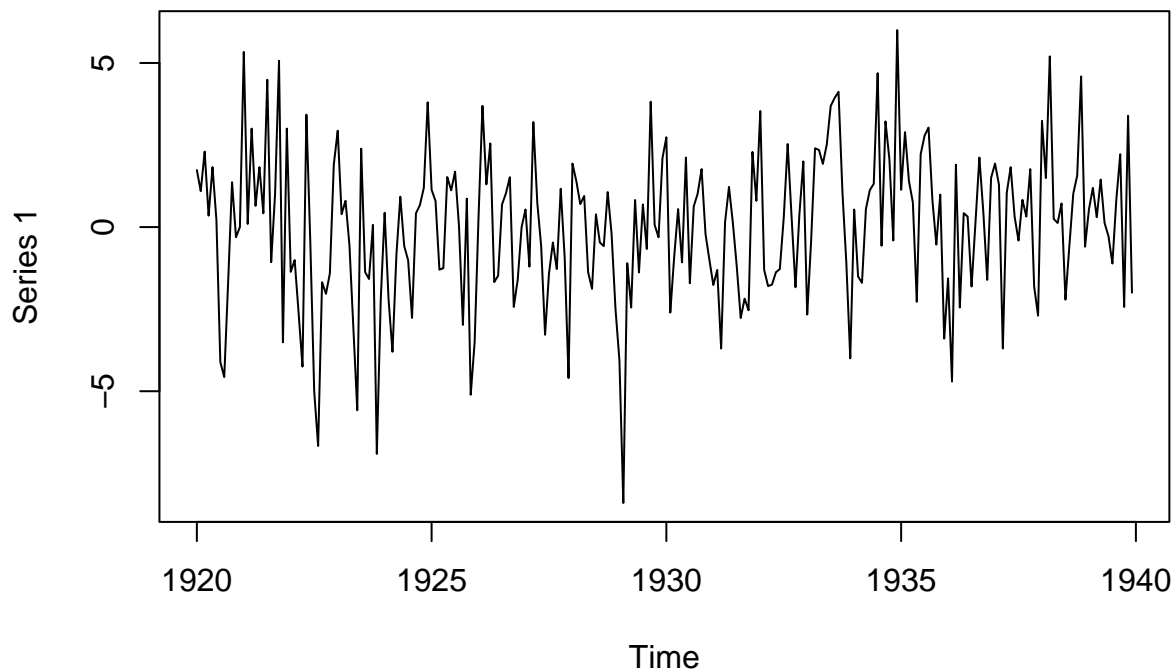
*Vous pourriez également trouver la partie saisonnière et les résidus d'une manière "manuelle", c'est-à-dire, sans utiliser les commandes `$fittel.values` et `$residuals` :*

#### **## Solution manuelle**

```
#partie saisonniere :
S_t2 <- matrix(c(rep(1, length(time)), cos(pi*time/6), sin(pi*time/6), sin(pi*time/3)),
               ncol=4, byrow = FALSE)%*%as.matrix(mod1$coefficients)
s_t2 <- ts(S_t2, frequency = 12, start = c(1920,1))
plot.ts(notten.data)
lines(s_t2, col="red", lty=2)
```



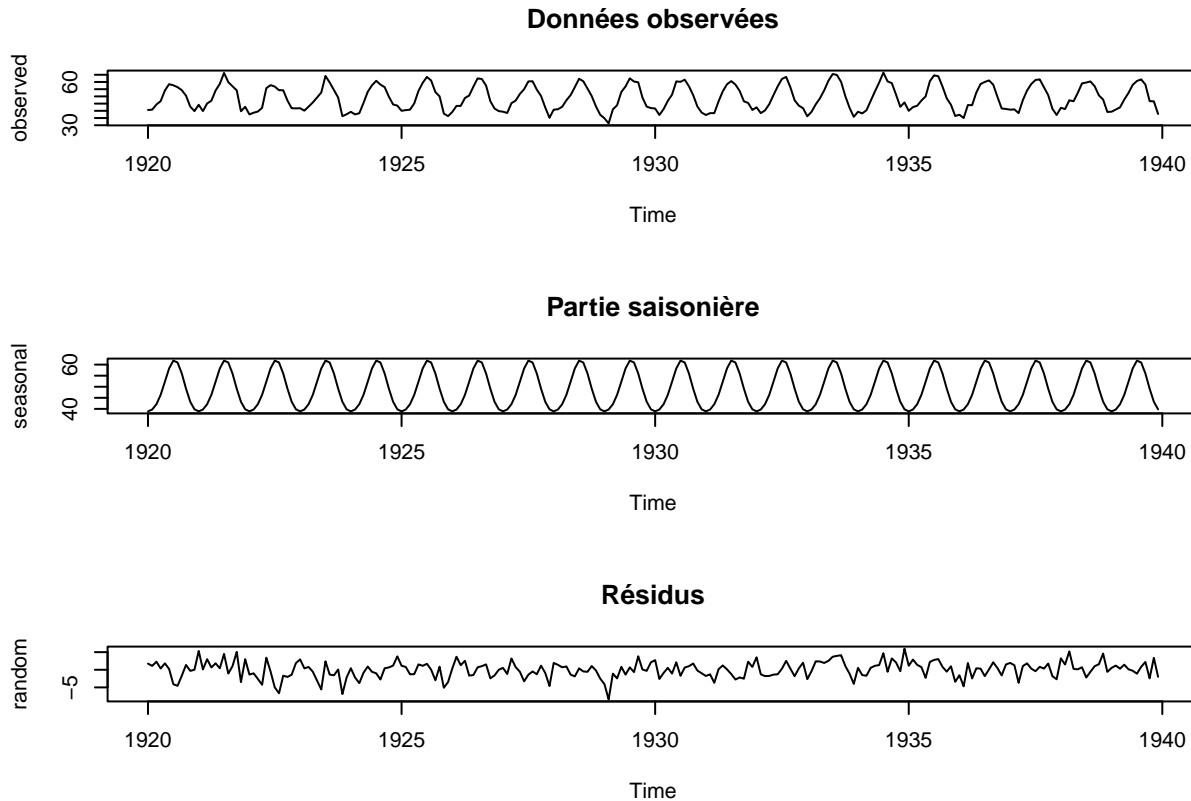
```
#serie des residus :
E_t2 <- notten.data - S_t2
e_t2 <- ts(E_t2, frequency = 12, start = c(1920,1))
plot.ts(e_t2)
```



6.- Tracer les trois séries dans une même fenêtre.

```
par(mfrow=c(3,1))
plot.ts(notten.data, main="Données observées", ylab = "observed")
plot.ts(s_t, main="Partie saisonnière", ylab="seasonal")
```

```
plot.ts(e_t, main="Résidus", ylab="random")
```



7.- Filtrer la série de départ pour éliminer la saisonnalité en utilisant le filtre de différenciation saisonnière via la fonction `diff`. Superposer la série ainsi obtenue avec les résidus précédents. Commenter.

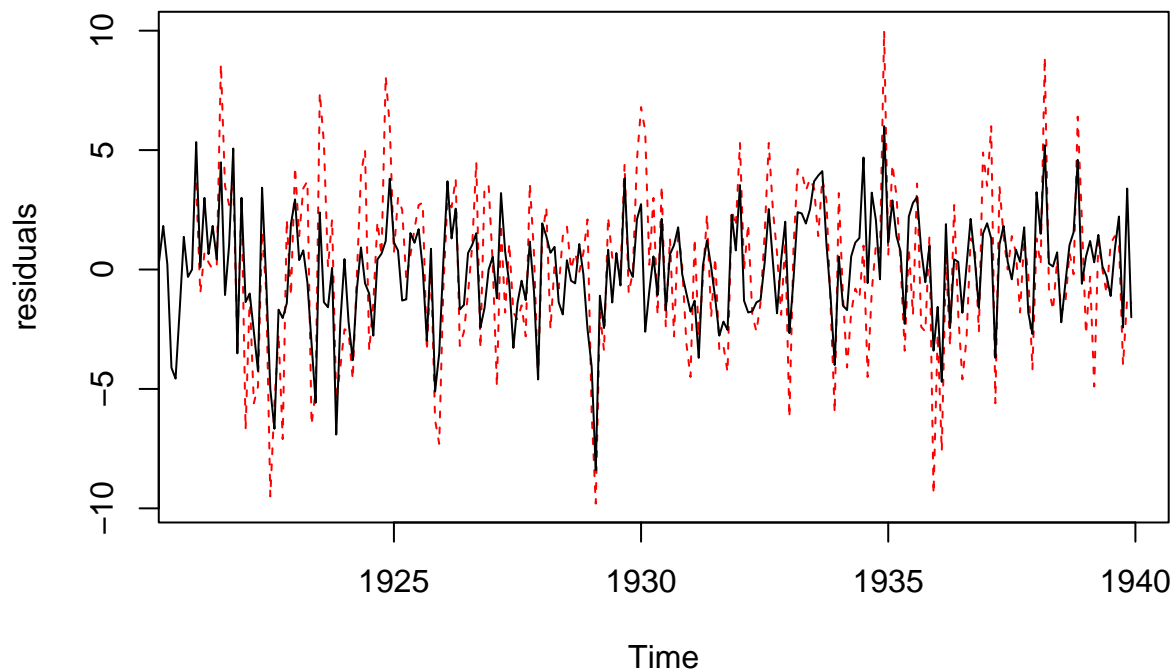
On a vu en cours que le filtre  $\Delta_p = (I - B^p)$  absorbe les saisonnalités de période  $p$ . Sachant que notre série a une composante saisonnière de période  $p = 12$  on applique la commande suivante :

```
D_12 <- diff(notten.data, lag=12) #lag=p (la période de la série)

# Essayez de tester plusieurs lags pour observer si la série résultante conserve
# ou non une saisonnalité.

par(mfrow=c(1,1))
plot(D_12, col="red", lty=2, ylab="residuals")
lines(e_t)
```



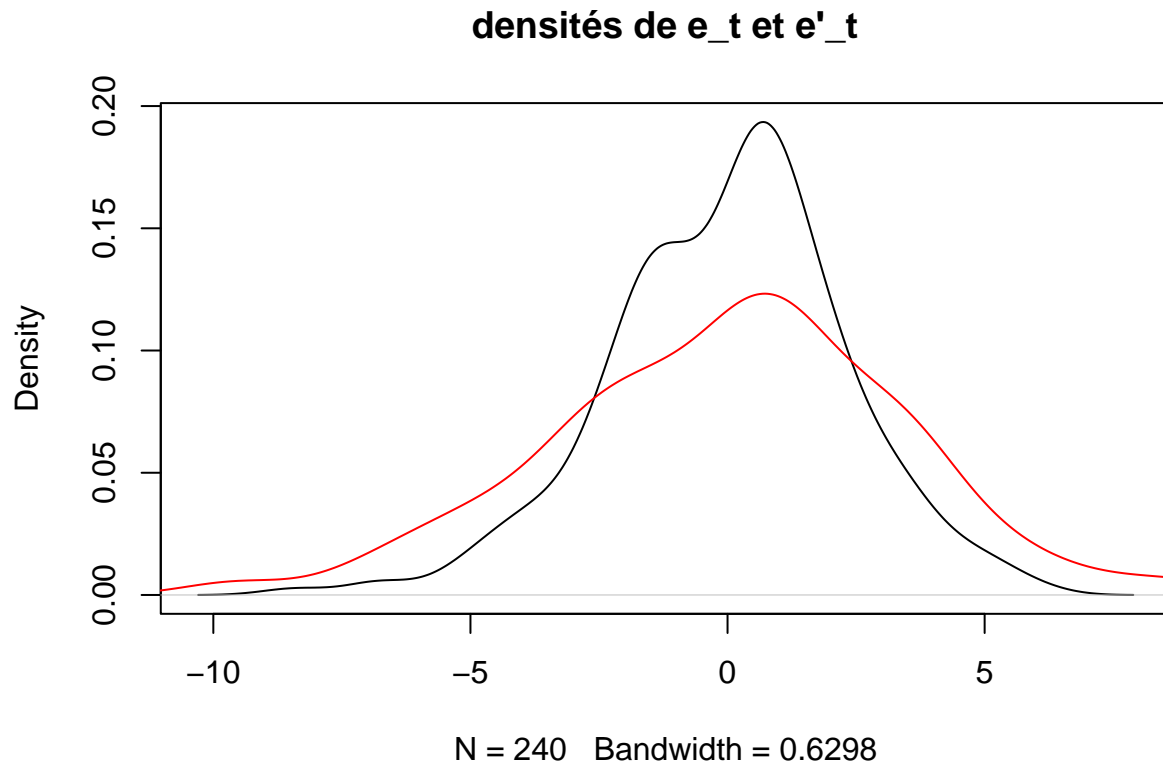


Sur le graphe, la trajectoire rouge correspond à la série filtrée et la trajectoire noire à la série des résidus estimés précédemment. On peut constater une variance plus élevée dans le cas de la série filtrée et c'est dû à l'effet du filtre. En effet, si

$$X_t = m + S_t + \epsilon_t \Rightarrow \epsilon'_t := \Delta_{12}(X_t) = \epsilon_t - \epsilon_{12}.$$

On peut observer cette dispersion en regardant les densités (empiriques) :

```
#hist(e_t, probability = TRUE, breaks = 12)
plot(density(e_t), col="black", main = "densités de e_t et e'_t")
lines(density(D_12), col="red")
```

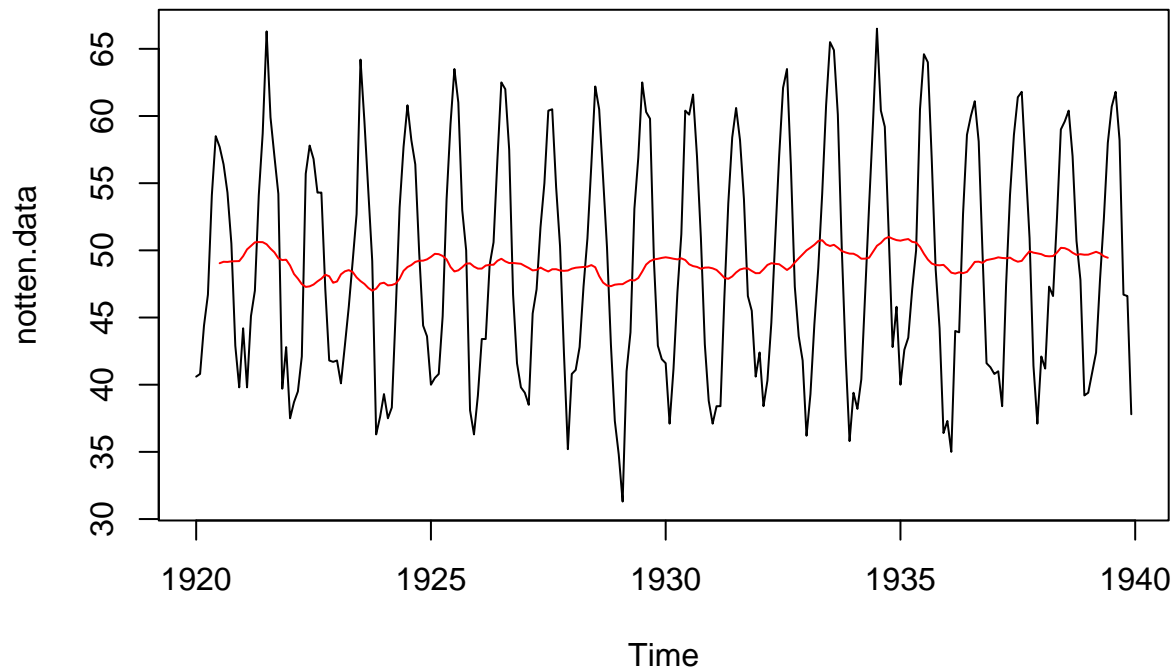


8.- Même question en utilisant cette fois la moyenne mobile arithmétique d'ordre 13 modifiée  $M_6^*(B)$ . On utilisera la fonction `filter` qui prend en argument la série à filter et un vecteur contenant les coefficients  $\theta_i$  de la moyenne mobile à appliquer.

On sait que  $M_m^*(B) = \frac{1}{2m} \sum_{k=-(m-1)}^{m-1} B^{-k} + \frac{1}{4m}(B^{-m} + B^m)$  est un filtre qui absorbe la saisonnalité de période  $p = 2m$ . Ici,  $p = 12$ . Les coefficients de  $M_6^*(B)$  sont donc dans le vecteur de dimension 13 :

$$(\theta_{-6}, \theta_{-5}, \dots, \theta_5, \theta_6) = \left( \frac{1}{24}, \frac{1}{12}, \dots, \frac{1}{12}, \frac{1}{24} \right)$$

```
M_6_modif <- filter(notten.data,
                    filter = c(1/24, rep(1/12, 11), 1/24) #les coefficients du filtre
                    )
#plot(M_6_modif, col="red", lty=1)
plot.ts(notten.data)
lines(M_6_modif, col="red", lty=1)
```

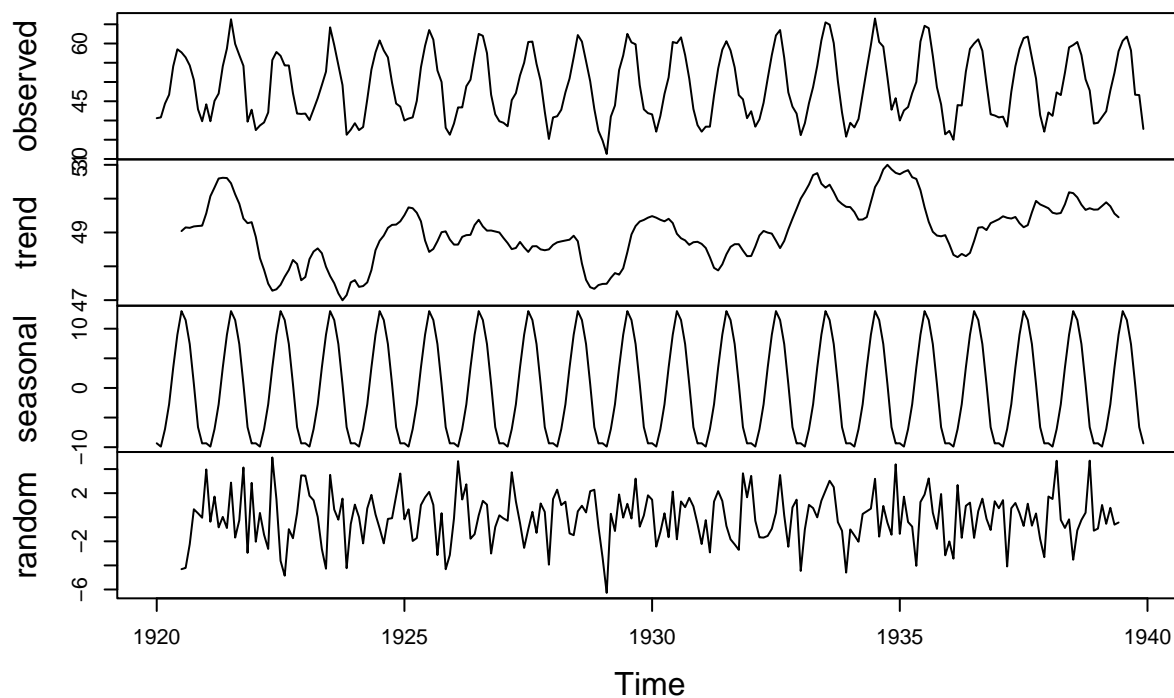


On voit bien qu'il n'y a plus de saisonnalité. À différence du filtre  $\Delta_{12}$ , ici, la série filtrée est centrée autour de la moyenne globale. (Exercice, Pourquoi ?)

9.- Pour terminer, utiliser la fonction `decompose`. Que fait-elle? Faire un graphe de sa sortie. Commenter.

```
decomposition <- decompose(notten.data, type="additive")
plot(decomposition)
```

### Decomposition of additive time series



Regardez le suivant :

```
sum(na.omit(decomposition$trend - M_6_modif))
```

```
[1] 0
```

Cela montre que la série “trend” de `decompose` est  $M_6^*(B)X_t$ .

- Comment sont-elles calculés les séries `seasonal` et `random` (ou `residuals`) dans la fonction `decompose`? (Discuté en TP)

## Exercice 2

Soient  $(X_t)_t$  et  $(Y_t)_t$  deux processus MA définis pour tout  $t \in \mathbb{Z}$  par

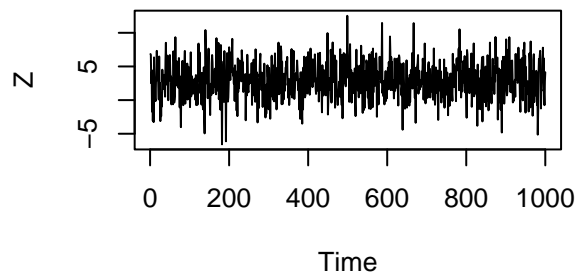
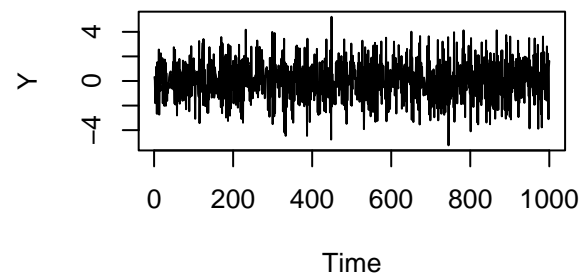
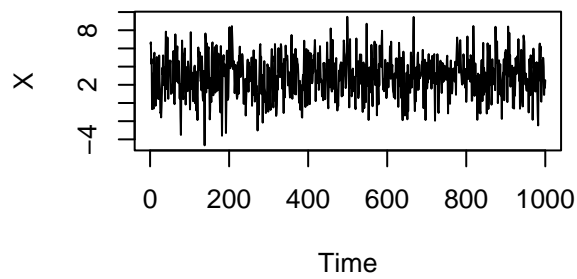
$$X_t = 3 + \epsilon_t + 2\epsilon_{t-1} \quad \text{et} \quad Y_t = \eta_t - \frac{1}{2}\eta_{t-1} + \frac{1}{3}\eta_{t-2}$$

où  $(\epsilon_t)_t$  et  $(\eta_t)_t$  sont deux bruits blancs indépendants de variance respective  $\sigma_\epsilon^2 = 1$  et  $\sigma_\eta^2 = 2$ . On pose  $Z_t = X_t + Y_t$ .

1.- Simuler une trajectoire de  $X$ , de  $Y$  et de  $Z$ , de taille  $n = 1000$ .

```
set.seed(666)
n <- 1000
m <- n + 2
epsilon <- rnorm(m, sd=1)
eta <- rnorm(m, sd=sqrt(2))
X <- 3 + epsilon[-1] + 2*epsilon[-m]
X <- X[1:n] #MA(1)
Y <- eta[-c(1,2)] - 1/2*eta[-c(1,m)] + 1/3*eta[-c(m-1,m)]
Y <- Y[1:n] #MA(2)
Z <- X + Y

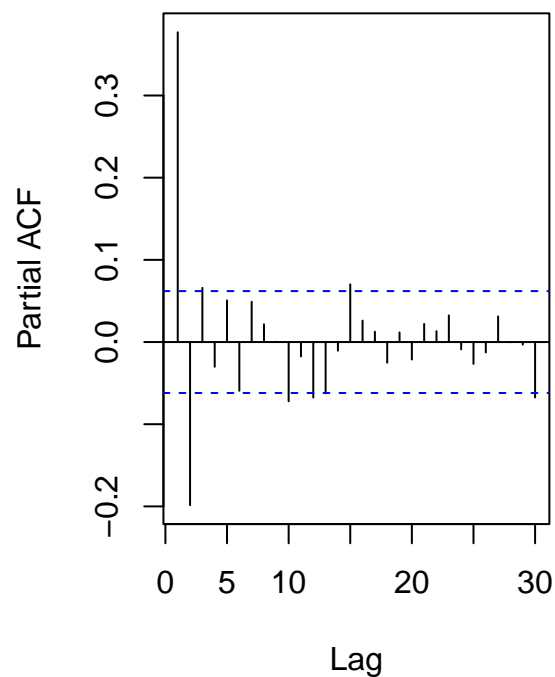
par(mfrow=c(2,2))
plot.ts(X)
plot.ts(Y)
plot.ts(Z)
```



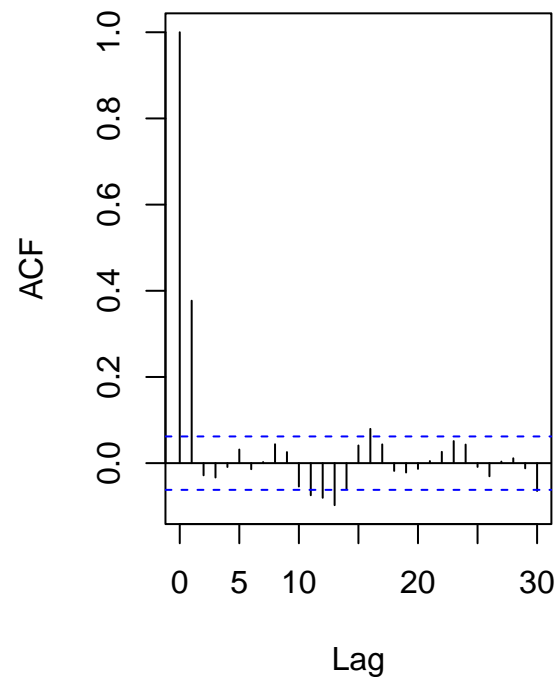
2.- A l'aide des fonctions `acf` et `pacf`, tracer les fonctions d'autocorrélation et d'autocorrélation partielle empirique de chacun des trois processus.

```
par(mfrow=c(1,2))
pacf(X)
acf(X)
```

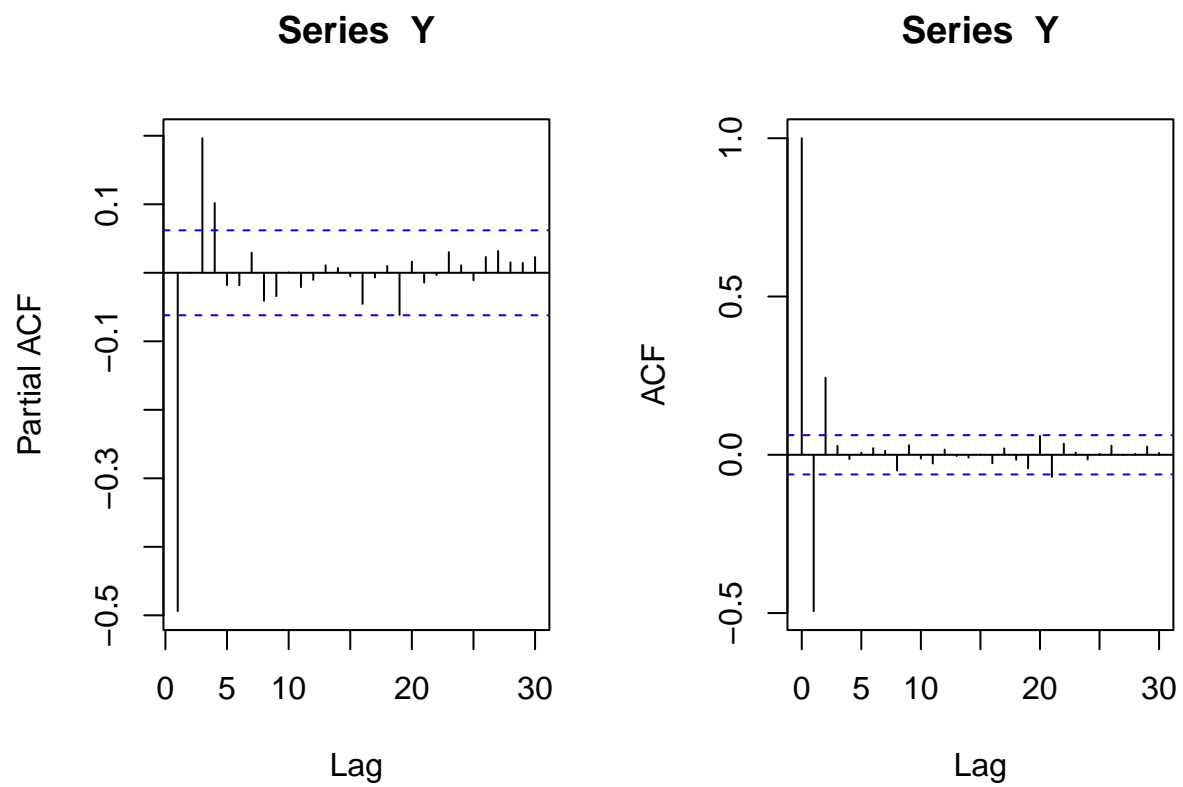
**Series X**



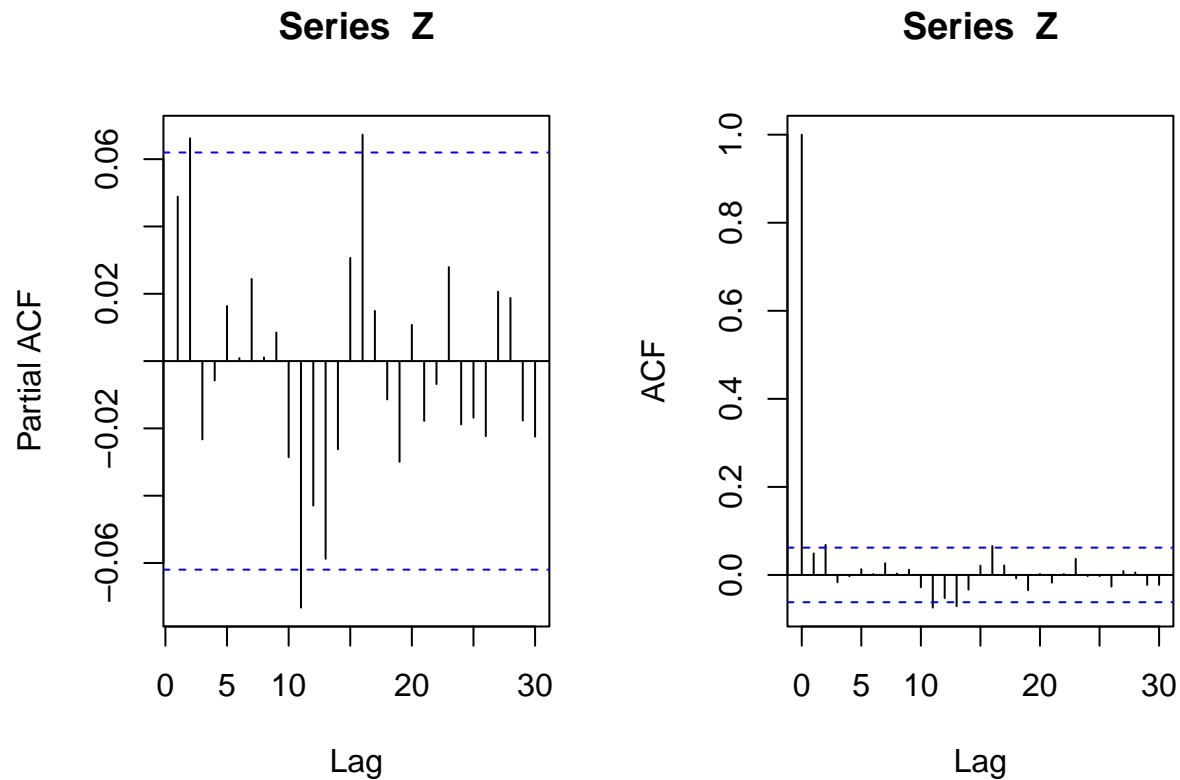
**Series X**



```
par(mfrow=c(1,2))
pacf(Y)
acf(Y)
```



```
par(mfrow=c(1,2))
pacf(Z)
acf(Z)
```



### Exercice 3

Soit le processus AR(1) défini, pour tout  $t \in \mathbb{Z}$ , par

$$X_t = \mu + \phi X_{t-1} + \epsilon_t$$

où  $(\epsilon_t)_t$  est un bruit blanc de variance  $\sigma^2$ .

1.- Simuler une trajectoire de ce processus de taille  $n = 1000$  pour  $\mu = 1$ ,  $\sigma^2 = 0.5$  et  $\phi = 0.45$ , puis pour  $\phi = 0.95$  et enfin pour  $\phi = 1$ .

Pour que cela soit automatique, on construit d'abord la fonction suivante :

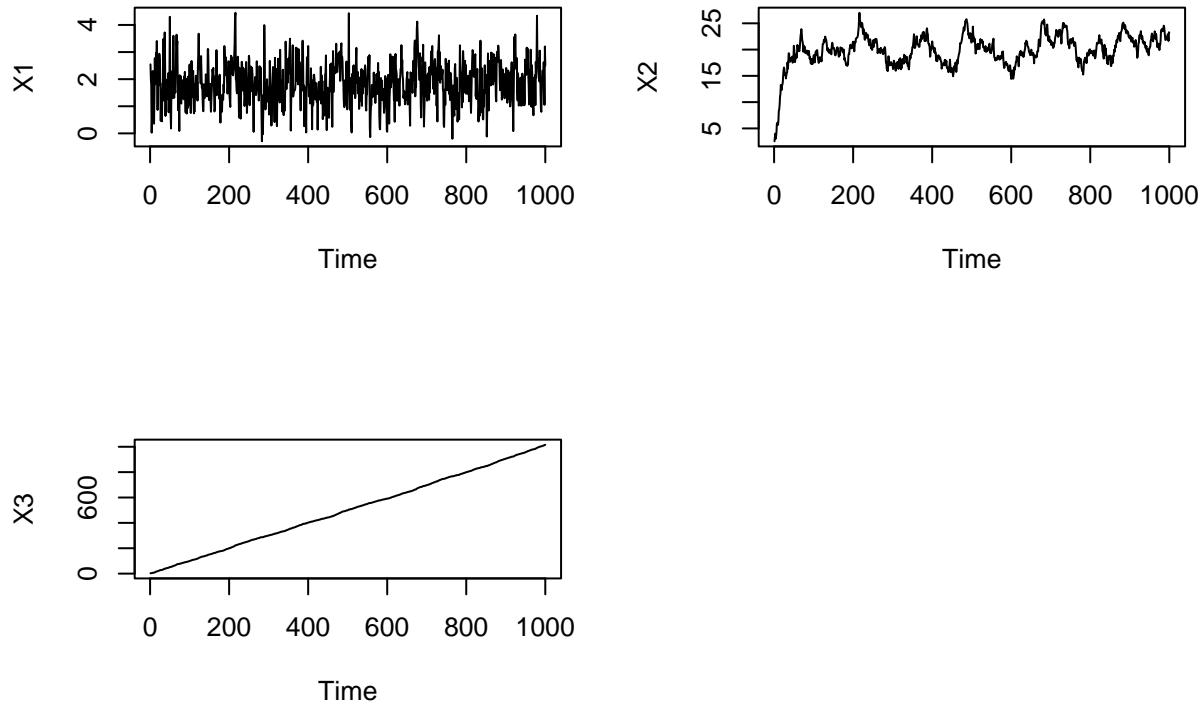
```
AR1 <- function(mu,phi,epsilon,size){
  X <-c(epsilon[1]) + mu
  for (t in 2:length(epsilon)){
    X[t] <- mu + phi*X[t-1] + epsilon[t]
  }
  return(X[1:size])
}
```

et on utilise cette fonction pour simuler chaque série temporelle :

```
set.seed(1001)
epsilon1 <- rnorm(1010, sd=sqrt(0.5))
X1 <- AR1(mu=1, phi=0.45, epsilon = epsilon1, size=1000)
X2 <- AR1(mu=1, phi=0.95, epsilon = epsilon1, size=1000)
X3 <- AR1(mu=1, phi=1, epsilon = epsilon1, size=1000)
```

2.- Pour chaque valeur de  $\phi$  représenter graphiquement la trajectoire simulée et commentez-les.

```
par(mfrow=c(2,2))
plot.ts(X1)
plot.ts(X2)
plot.ts(X3)
```



La première série semble être stationnaire. La troisième série est clairement non-stationnaire. La deuxième série semble être entre les deux.

Remarque : Dans la théorie, la deuxième série est encore stationnaire. En effet, la série

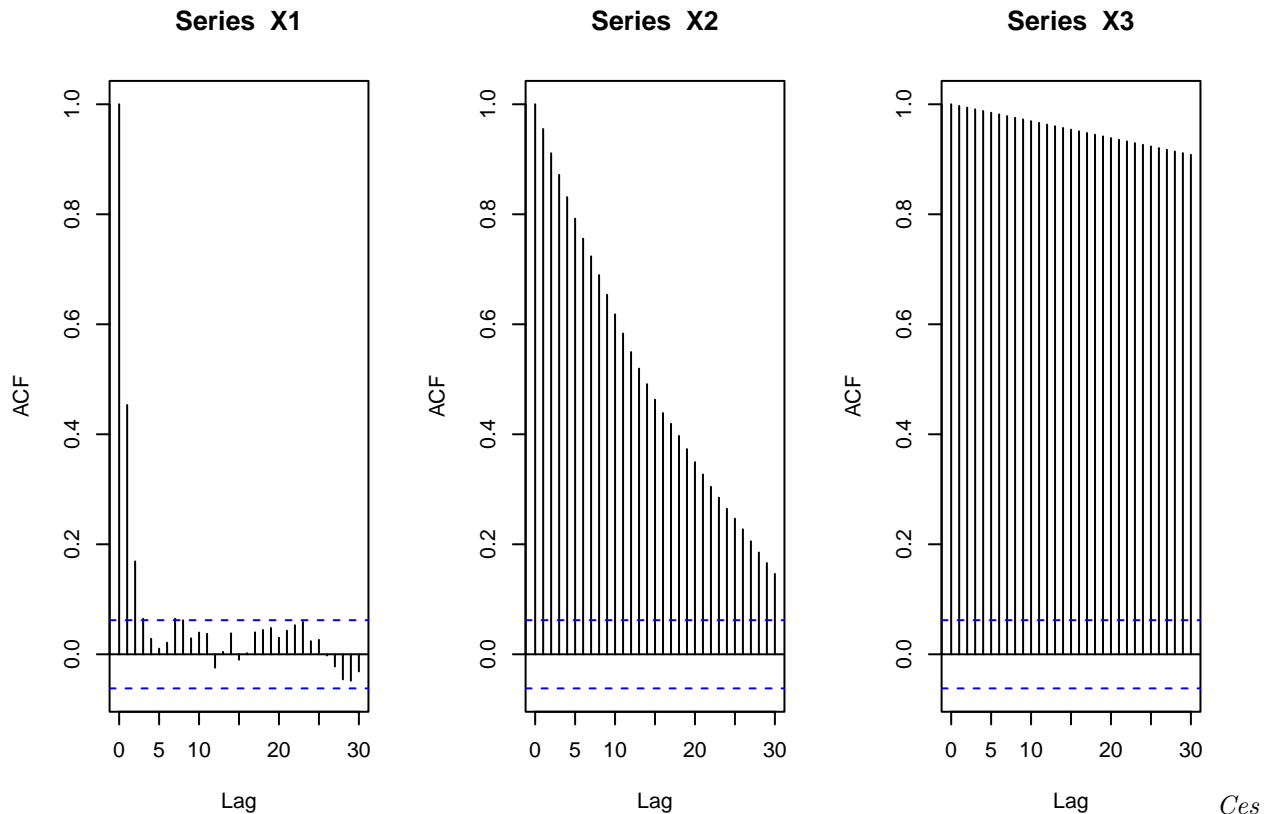
$$X_t = \mu + \phi X_{t-1} + \epsilon_t$$

est stationnaire si  $|\phi| < 1$ . La valeur  $\phi = 0.95$  est presque à la frontière de la non-stationnarité.

3.- A l'aide de la fonction `acf`, tracer la fonction d'autocorrelation empirique du processus. Dans quels cas est-il stationnaire ?

```
par(mfrow=c(1,3))
acf(X1)
acf(X2)
acf(X3)
```





Ces graphiques confirment ce qu'on a dit précédemment. C'est-à-dire, que les séries 1 et 2 sont stationnaires et la 3eme non-stationnaire.

4.- Dans les cas stationnaires, estimer pour chaque  $k \in \{10, \dots, n\}$ ,  $\mu$ ,  $\phi$  et  $\sigma^2$  à partir de la trajectoire  $x_1, \dots, x_k$  (on utilisera la moyenne empirique et les équations de Yule-walker). Comparer graphiquement les estimations avec les vraies valeurs des paramètres en fonction de la valeur de  $k$ .

Ici, les équations de Yule-Walker sont en effet une seule équation :

$$\phi = \rho(0)^{-1}\rho(1) = \rho(1)$$

De cette manière, nous pouvons étudier le comportement des estimateurs de  $\mu$ ,  $\phi$  et  $\sigma^2$  ( $\hat{\mu}_k$ ,  $\hat{\phi}_k$ ,  $\hat{\sigma}_k$ ) via la fonction suivante :

```
behavior.estimators.AR1 <- function(X){
  n <- length(X)
  hat.phi <- c(NA)
  hat.mu <- c(NA)
  hat.sigma2 <- c(NA)
  for (k in 10:n){
    aux <- acf(X[1:k], lag.max = 2, plot = FALSE)
    hat.phi[k] <- aux$acf[2] #Si l'on simplifie les equations de YW pour AR(1)
    hat.mu[k] <- (1-hat.phi[k])*mean(X[1:k])
    hat.sigma2[k] <- (1-hat.phi[k]^2)*var(X[1:k])
  }
  Parameters <- as.data.frame(cbind(hat.phi, hat.mu, hat.sigma2))
  names(Parameters) <- c("phi", "mu", "sigma2")
  return(Parameters)
}
```

- Pour la première série :

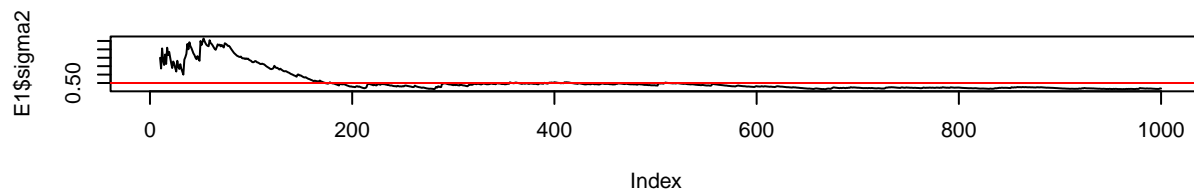
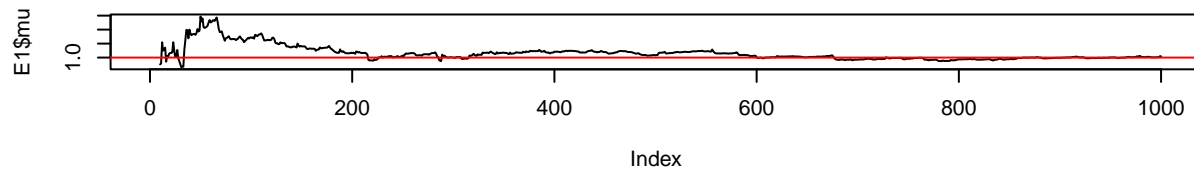
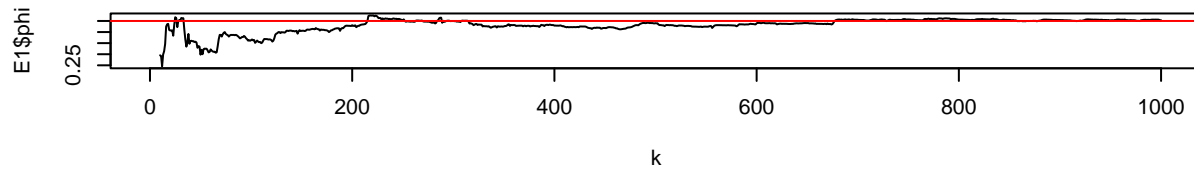
```

E1 <- behavior.estimators.AR1(X1)
par(mfrow=c(3,1))
plot(E1$phi, type="l", xlab="k")
abline(h=0.45, col="red")

plot(E1$mu, type="l")
abline(h=1, col="red")

plot(E1$sigma2, type = "l")
abline(h=0.5, col="red")

```



- Pour la deuxième série :

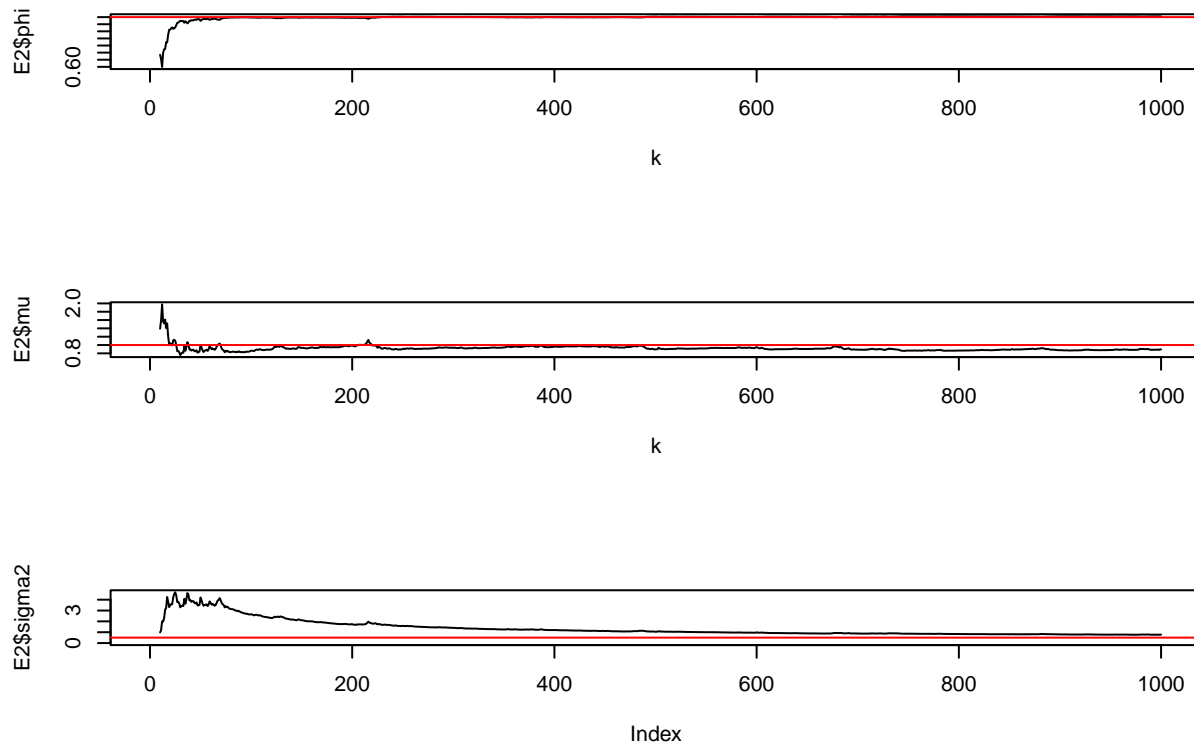
```

E2 <- behavior.estimators.AR1(X2)
par(mfrow=c(3,1))
plot(E2$phi, type="l", xlab="k")
abline(h=0.95, col="red")

plot(E2$mu, type="l", xlab="k")
abline(h=1, col="red")

plot(E2$sigma2, type = "l", ylim = c(0, max(na.omit(E2$sigma2))))
abline(h=0.5, col="red")

```

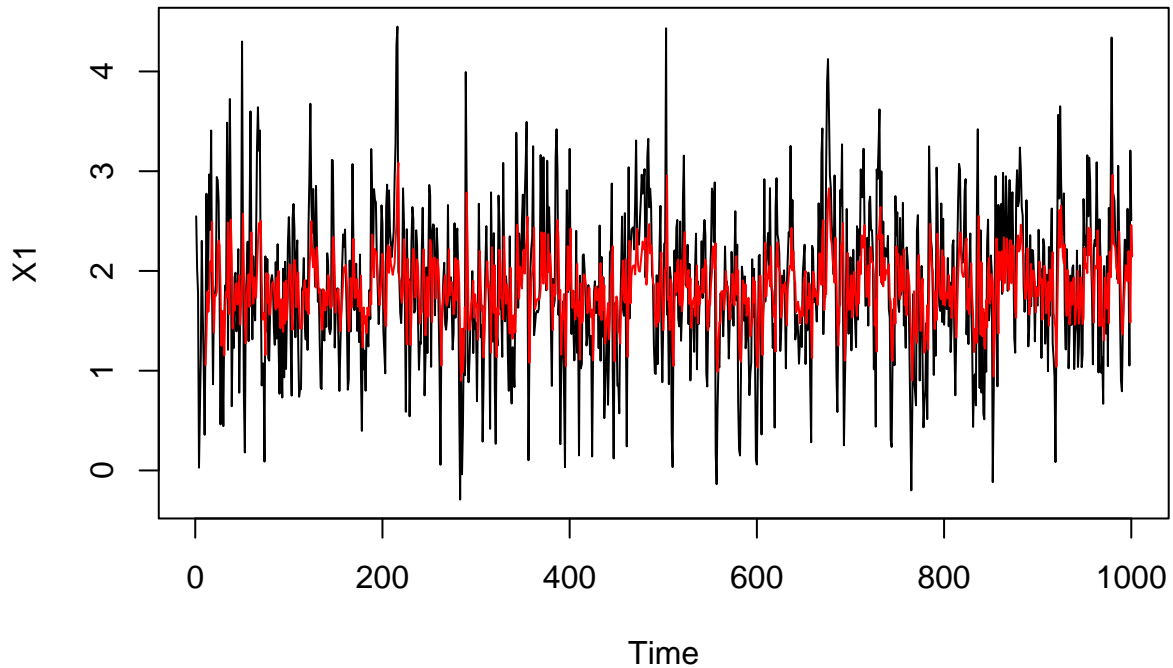


5.- Pour chaque  $k \in \{10, \dots, n-1\}$ , proposer un estimateur de la prévision de  $X_{k+1}$  à partir de l'observation de la trajectoire  $x_1, \dots, x_k$ . Superposer la vraie trajectoire et sa prévision en fonction de  $k$ . Que constatez-vous selon la valeur de  $\phi$  ?

```
Prevision.AR1_1 <- function(X){
  previ <- c(NA)
  n <- length(X)
  for (k in 10:n){
    aux <- acf(X[1:k], lag.max = 2, plot = FALSE)
    hat.phi <- aux$acf[2]
    hat.mu <- (1-hat.phi)*mean(X[1:k])
    previ[k+1] <- hat.mu + hat.phi*X[k] #Voir la fin du Chapitre 3
  }
  return(previ)
}
```

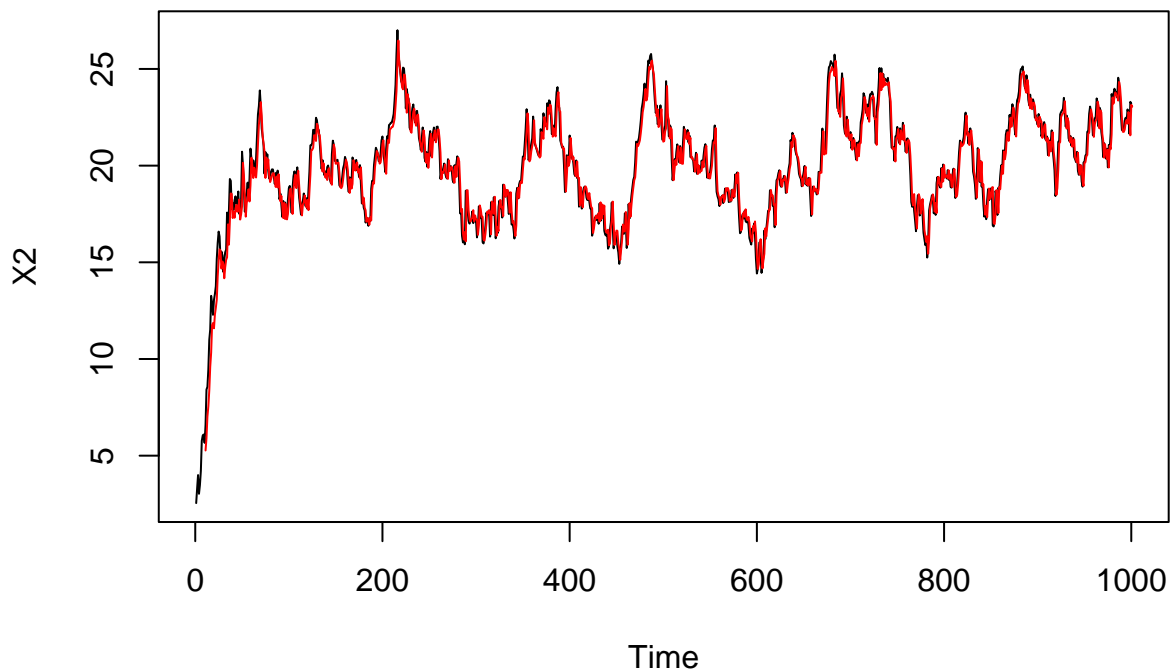
- Prévisions  $\hat{X}_k(1)$  pour la première série :

```
Prev.X1 <- Prevision.AR1_1(X1)
plot.ts(X1)
lines(Prev.X1, col="red", lty=1)
```



- Prévisions  $\hat{X}_k(1)$  pour la deuxième série :

```
Prev.X2 <- Prevision.AR1_1(X2)
plot.ts(X2)
lines(Prev.X2, col="red")
```



#### Exercice 4

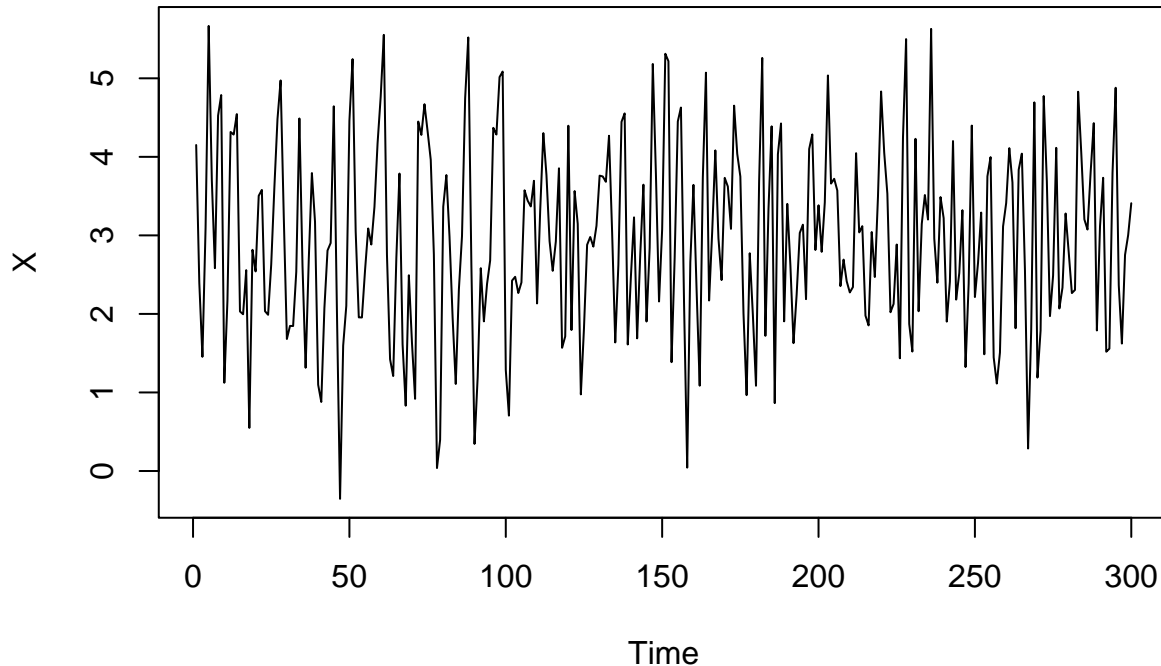
Soit  $(X_t)_t$  un processus MA(2) de paramètres  $m = 3$ ,  $\theta_1 = \frac{1}{2}$  et  $\theta_2 = -\frac{1}{3}$ .

1.- Simuler une trajectoire pour  $t = 1, \dots, 300$ .

```

set.seed(134)
mu = 3
theta1 = 1/2
theta2 = -1/3
n = 300
bruit <- rnorm(n+2)
N = length(bruit)
X <- mu + bruit[-c(1,2)] + theta1*bruit[-c(1,N)] + theta2*bruit[-c(N-1,N)]
X <- X[1:n]
plot.ts(X)

```



2.- Utiliser la fonction `arima` pour estimer les paramètres  $m$ ,  $\theta_1$  et  $\theta_2$  par maximum de vraisemblance à partir des 200 premières observations.

```

ma2 <- arima(X[1:200], order = c(0,0,2))
ma2$coef

```

```

      ma1      ma2  intercept
0.5493713 -0.2881389  2.9393657

```

3.- Ecrire un algorithme pour prédire les valeurs de  $X_t$  pour  $t = 200, 201, \dots, 300$  et les comparer graphiquement avec les vraies valeurs observées.

**Il faut calculer d'abord**  $P_{F_T}(X_{T+h})$ , où  $T = 200$  et  $h = 1, 2, \dots, 100$ .  $F_T = \text{Vect}(X_T, X_{T+1}, \dots)$ . Calcul fait (ou à faire) en TP. Le reste est facile à coder

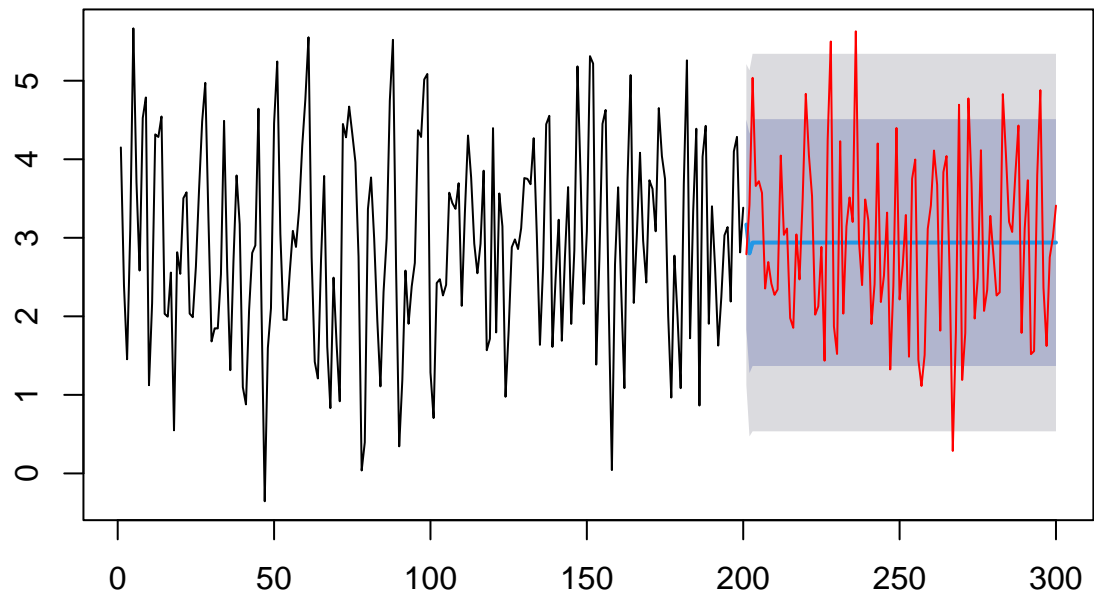
Sinon, on peut réaliser le calcul avec la librairie `forecast` :

```

library(forecast)
prevision_h <- forecast(ma2, h=100)
plot(prevision_h)
lines(ts(X[201:300], start = 201, frequency=1), col="red")

```

## Forecasts from ARIMA(0,0,2) with non-zero mean



*Pas très intéressant comme prévision. Exercice : bricolez une solution plus réaliste !*